

## زمین‌شناسی، کانه‌زایی و ژنز کانسار سلسیتین مادآباد، جنوب زنجان

مهسا نوری<sup>۱</sup>، حسین کوهستانی<sup>۲\*</sup>، قاسم نباتیان<sup>۳</sup>، میرعلی اصغر مختاری<sup>۲</sup> و افشین زهدی<sup>۲</sup>

۱. کارشناس ارشد زمین‌شناسی اقتصادی، گروه زمین‌شناسی، دانشکده علوم، دانشگاه زنجان، زنجان، ایران

۲. دانشیار، گروه زمین‌شناسی، دانشکده علوم، دانشگاه زنجان، زنجان، ایران

۳. استادیار، گروه زمین‌شناسی، دانشکده علوم، دانشگاه زنجان، زنجان، ایران

تاریخ دریافت: ۱۳۹۹/۱۲/۱۲

تاریخ پذیرش: ۱۴۰۰/۰۳/۳۰

### چکیده

واحدهای سنگی در کانسار سلسیتین مادآباد شامل سنگهای آهکی متوسط تا ضخیم‌لایه و توده‌ای با میان‌لایه‌های سنگ آهک مارنی و مارن سازند قم به سن میوسن پیشین می‌باشد. کانه‌زایی در کانسار مادآباد به صورت عدسی‌شکل درون واحدهای کربناته عضو سازند قم رخ داده و لایه‌بندی آنها راقطع کرده است. کانه‌زایی در کانسار مادآباد شامل سه مرحله است. مرحله اول با تشکیل کلسیت طی فرایندهای هم‌زمان با رسوب گذاری تا هم‌زمان با دیاژنر مشخص می‌شود. مرحله دوم مربوط به فعالیتهای گرمابی است که به ترتیب با تشکیل سلسیتین‌های توده‌ای ریزبلور و دانه‌شکری نسل اول، رگه و رگچه‌های سلسیتین درشت‌بلور نسل دوم همراه با اندکی استرانسیانیت و باریت، سلسیتین‌های درشت‌بلور شکل دار نسل سوم باافت پُرکننده فضاهای خالی و درنهایت تشکیل رگه و رگچه‌های تأخیری کوارتز-کلسیتی همراه می‌باشد. مرحله سوم مربوط به فرایندهای برون‌زاد است. دگرسانی‌ها شامل دولومیت، کلسیتی و سیلیسی می‌باشند سلسیتین همراه با اندکی استرانسیانیت و باریت، کانه‌های معدنی و کلسیت، دولومیت، کوارتز و اکسیدهای هیدروکسیدهای آهن، کانی‌های باطله در مادآباد هستند. بافت ماده معدنی از نوع رگه-رگچه‌ای، پُرکننده فضاهای خالی، دروزی، برشی و کاتاکلاستیک است. براساس نتایج مطالعات ریزدماسنجه، درجه شوری میانبارهای سیال دو فازی غنی از مایع در سلسیتین‌های نسل دوم بین شش تا ۱۶ (میانگین ۱۰/۶) درصد وزنی معادل نمک طعام و دمای همگن شدن آنها از ۲۴۸ تا ۳۶۵ درجه سانتی‌گراد (میانگین ۲۷۸) متغیر است. این مطالعات بیانگر حداقل عمق تشکیل حدود ۵۱۰ متر برای کانسار مادآباد است. استرانسیم از واحدهای تبخیری موجود در بخش‌های مارنی سازند قم و واحدهای آتشفشاری سازند کرج منشاء گرفته است. ویژگی‌های کانسار مادآباد با کانسارهای سلسیتین جانشینی اپی‌ژنتیک شباهت دارد.

واژه‌های کلیدی: اپی‌ژنتیک، زنجان، سازند قم، کانه‌زایی سلسیتین، مادآباد.

(2009; Markhand et al., 2020). این کانه‌زایی‌ها اغلب

کوچک است و کانسارهای بزرگ با ذخیره میلیون تنی بیشتر همراه با توالی‌های کربناتی-تبخیری در محیط‌های ساحلی دریابی تشکیل می‌شوند (Hanor, 2004; Warren, 2006; Forjanes et al., 2020a, b).

### مقدمه

کانه‌زایی‌های سلسیتین همگی با سنگ‌های رسوبی آهکی و مارنی و گاه در ارتباط با ژیبس و دیگر رسوبات تبخیری تشکیل می‌شوند (González-Sánchez et al., 2011).

در آزمایشگاه میانبارهای سیال مرکز تحقیقات فرآوری مواد معدنی ایران در کرج مطالعه شد. مطالعات ریزدماسنجی با استفاده از دستگاه Linkam THMS600 متصل به میکروسکوپ ZEISS و مجهز به کنترل‌کننده حرارتی TM94 و سردکننده LNP با دامنه حرارتی  $-196^{\circ}\text{C}$  تا  $+600^{\circ}\text{C}$  درجه سانتی‌گراد انجام شد. کالیبراسیون دستگاه در مرحله گرمایش با دقت  $\pm 0.6^{\circ}\text{C}$  درجه با نیترات سریزیم با نقطه ذوب  $414^{\circ}\text{C}$  درجه سانتی‌گراد و در مرحله سرمایش با دقت  $\pm 0.2^{\circ}\text{C}$  درجه سانتی‌گراد با ماده استاندارد ان‌هگزان با نقطه ذوب  $943^{\circ}\text{C}$  درجه سانتی‌گراد انجام شد. میزان شوری میانبارها به صورت معادل درصد وزنی نمک طعام و از طریق دمای ذوب آخرین قطعه یخ با استفاده از فرمول ارائه شده توسط بودنار (1993) Bodnar محاسبه شده است.

### زمین‌شناسی منطقه مادآباد

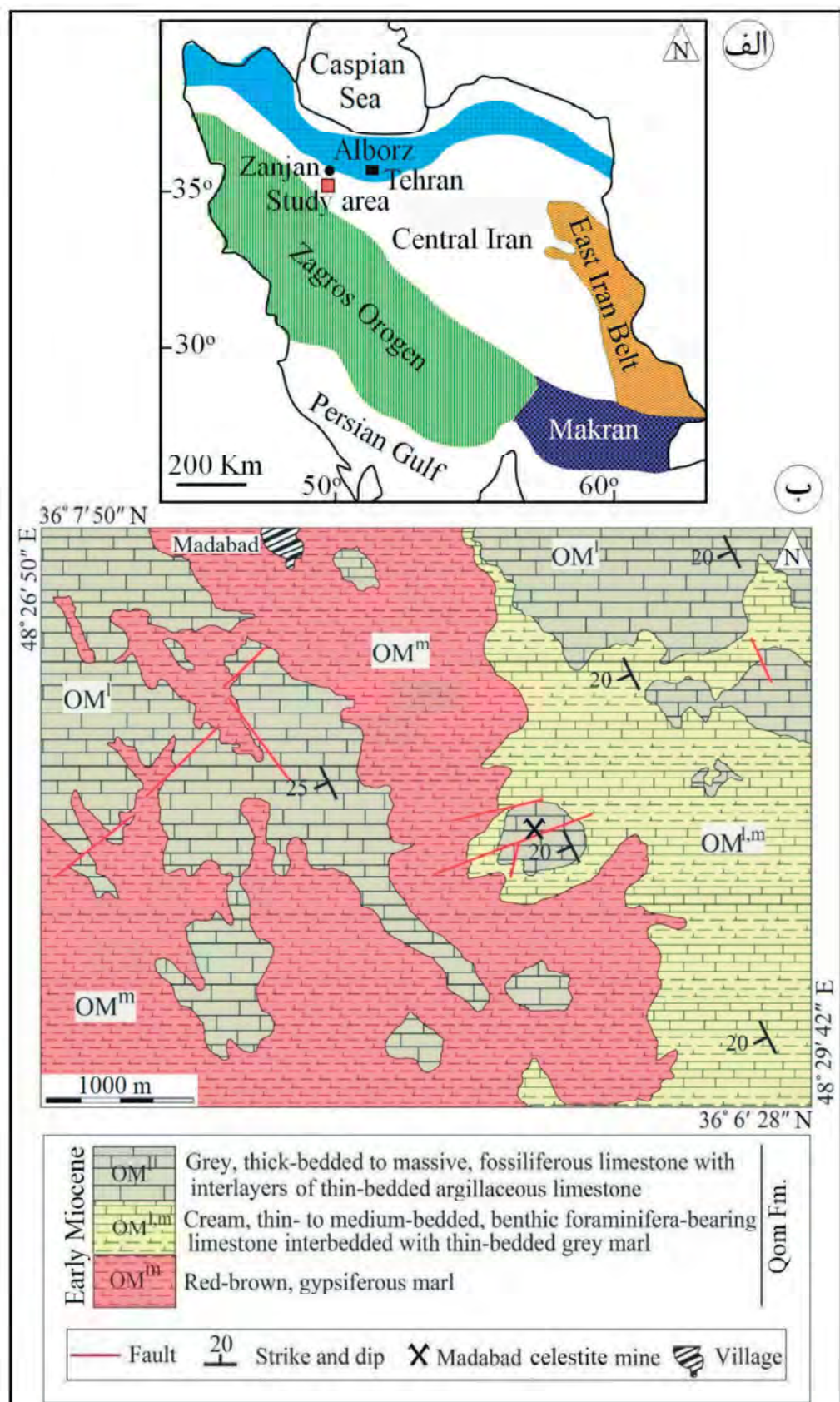
در تقسیمات پهنه‌های رسوی-ساختاری ایران (Alavi, 1991)، کانسار مادآباد در پهنه‌های ایران مرکزی واقع شده است (شکل ۱-الف). در مقیاس ناحیه‌ای و براساس نقشه‌های زمین‌شناسی با مقیاس ۱:۱۰۰۰۰۰ خابنده-سلطانیه (علوی نائینی، ۱۳۷۲) و حلب (شهیدی و بهارفیروزی، ۱۳۸۰)، واحدهای سنگی رخنمون یافته در منطقه مادآباد به ترتیب از قدیم به جدید شامل واحدهای شیلی و آهکی کرتاسه، واحدهای توفی و گدازه‌ای ائوسن (معادل سازند کرج)، واحدهای آواری سازند قرمز زیرین، سنگ آهک‌های فسیل دار سازند قم و واحدهای ماسه‌سنگی و مارنی سازند قرمز بالایی است. در مقیاس محلی، واحدهای سنگی موجود در گستره کانسار مادآباد به بخش ۱ سازند قم (Furrer and Soder, 1955) به سن میوسن پیشین تعلق داشته و از قدیم به جدید شامل واحدهای  $\text{OM}^{\text{m}}$  و  $\text{OM}^{\text{l}}$  می‌باشد (شکل‌های ۱-ب و ۲-الف تا ث). روند عمومی لایه‌بندی در این واحدهای شمال تا شمال‌غرب-جنوب تا جنوب‌شرق با شیب به سمت غرب-جنوب‌غرب است و به صورت هم‌شیب یکدیگر را می‌پوشانند (شکل ۱-ب). واحد  $\text{OM}^{\text{m}}$  شامل مارن‌های ژپس‌دار به رنگ قرمز تا قهوه‌ای است که اغلب در بخش‌های مرکزی، جنوب و جنوب‌غربی

ایران همراه با توالی‌های تبخیری سازند کند با سن ائوسن در البرز مرکزی (بازرگانی گیلانی و ربانی، ۱۳۸۴)، سازند قم با سن الیگومیوسن در ایران مرکزی (کریمی و راستاد، Bazargani-Guilani and Nekouvaght Tak, ۱۳۷۸؛ Ehya et al., 2013; Pourkaseb et al., 2017) و سازند آسماری به سن الیگومیوسن در زاگرس چین خورده (رستمی پایدار و همکاران، ۱۳۹۵) تشکیل شده‌اند. سلسیتین در این کانسارها از مرحله هم‌زمان با رسوب‌گذاری تا دیازنتر تشکیل شده و تیپ آن از نوع رسوی دیاپلنتیک معرفی شده است.

کانسار سلسیتین مادآباد اولین گزارش از وجود ذخایر سلسیتین در استان زنجان با سنگ میزان کربناته (سازند قم) است که در فاصله حدود ۱۰۰ کیلومتری جنوب زنجان قرار دارد. علی‌رغم فعالیت‌های اکتشافی واستخراجی در این کانسار (شرکت فارس جم ستون، ۱۳۹۲)، تاکنون مطالعه علمی دقیقی بر روی آن انجام نشده است. در این پژوهش، ویژگی‌های زمین‌شناسی و کانه‌زایی در کانسار مادآباد بررسی شده و تیپ و خاستگاه آن با توجه به داده‌های فعلی تعیین شده است. با توجه به گسترش زیاد واحدهای آهکی سازند قم در کشور، نتایج حاصل از این پژوهش می‌تواند اطلاعات سودمندی برای درک منشاء و شناخت عوامل کنترل‌کننده این نوع از کانه‌زایی‌های سلسیتین ارائه داده و برای اکتشاف ذخایر جدید سودمند باشد.

### روش مطالعه

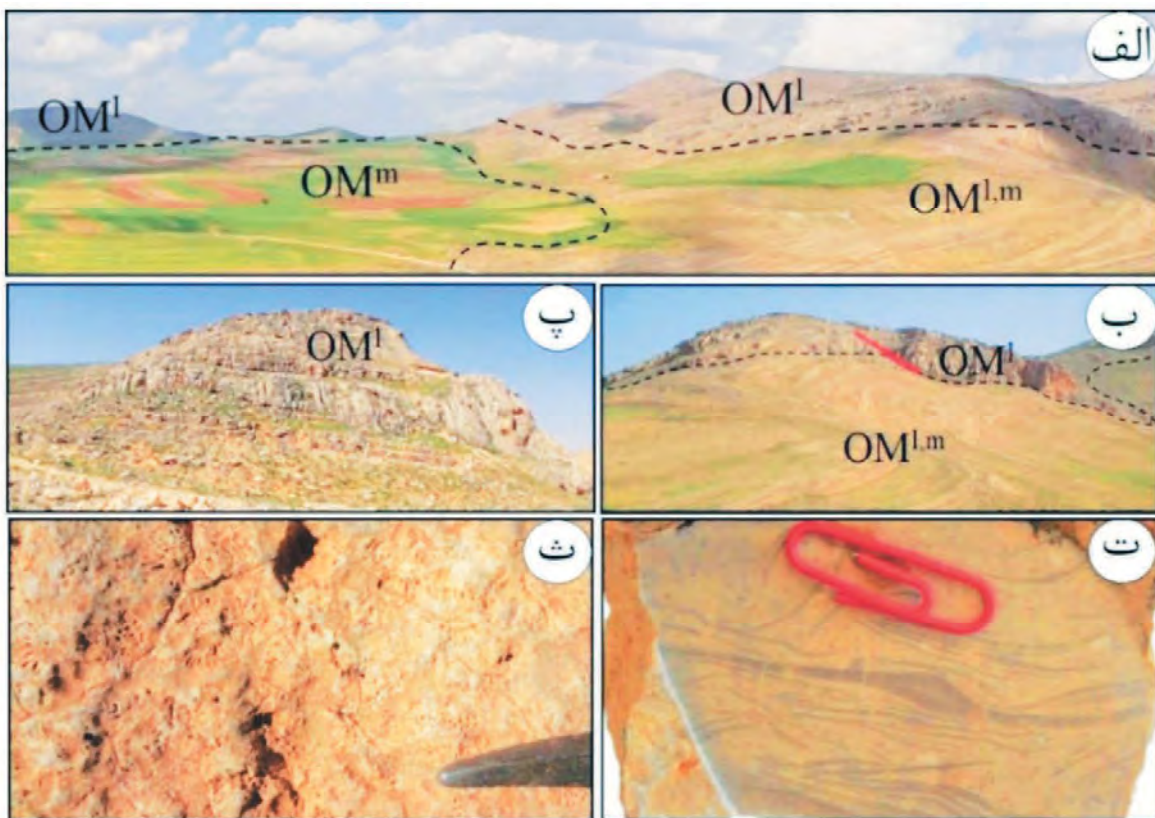
ابتدا طی مطالعات صحرایی، نقشه زمین‌شناسی با مقیاس ۱:۵۰۰۰ از منطقه تهیه شد. طی این مطالعات، امتداد، شیب، ضخامت، رنگ، سنگ‌شناسی، مرز بین لایه‌ها و اندازه ذرات لایه‌های کربناته، اندازه‌گیری و وجود و یا نبود کانه‌زایی سلسیتین در آنها بررسی شد. سپس، تعداد ۳۰ مقطع نازک و ۲۰ مقطع نازک-صیقلی برای مطالعات سنگ‌شناسی و کانه‌نگاری تهیه شد. در ادامه، برای تعیین ویژگی‌های دما، فشار و شوری سیالات مسئول کانه‌زایی و دگرسانی، تعداد سه مقطع دوبرضیقیل به ضخامت ۱۵۰ میکرون از سلسیتین‌های شفاف نسل‌های اول و دوم تهیه و



شکل ۱. (الف) موقعیت منطقه مورد مطالعه (مرتع قرمز) بر روی نقشه پهنه‌های رسوی-ساختاری ایران (باتغییرات از ۱۹۹۱، Alavi)، (ب) نقشه زمین‌شناسی مقیاس ۱:۵۰۰۰ تهیه شده از منطقه مادآباد

رنگ دارای قطعات فسیلی فراوان مرجان (شکل ۲-ث) با میان لایه‌های آهک مارنی تشکیل شده است (شکل ۲-الف). واحد  $OM^l$  بیشتر در بخش‌های شمال‌شرق و شمال‌غرب تا غرب منطقه گسترش دارد و میزان کانه‌زایی سلسیتین منطقه است. بدلیل پوشش بخش زیاد منطقه مادآباد توسط زمین‌های کشاورزی، شناسایی ساختارهای گسلی در این گستره مشکل است. با این وجود، تعدادی گسل نرمال با راستای شمال‌شرق-جنوب‌غرب، توالی رسوی سازند قم را قطع کردند (شکل ۱-ب). شاخن‌ترین گسل در این منطقه، گسل نرمال موجود در منطقه کانه‌زایی سلسیتین با روند N40E و شیب حدود ۳۵ درجه به سمت شمال‌غرب می‌باشد. کانه‌زایی سلسیتین مادآباد در امتداد این گسل متتمرکز شده است. دگرسانی دولومیتی همراه با آغشته‌گی به هیدروکسیدهای آهن در سنگ‌های آهکی اطراف کانه‌زایی و مسیر این گسل قابل مشاهده است.

گستره گسترش دارند (شکل‌های ۱-ب و ۲-الف). مارن‌ها، نازک تا متوسط‌لايه است و در میان لایه‌های آن، زیپس به صورت محلی مشاهده می‌شود. این واحد در منطقه مادآباد توسط مزارع و کشتزارها پوشیده شده است. واحد  $OM^{l,m}$  به طور عمده در بخش‌های شرقی منطقه گسترش دارد. این واحد از آهک‌های نازک تا متوسط‌لايه کرم‌رنگ با میان لایه‌های مارنی تشکیل شده است (شکل ۲-الف و ب). سنگ آهک‌ها بیشتر متوسط لایه می‌باشند و لایه‌های مارنی از نظر طبقه‌بندی نازک‌لايه هستند. فرامینیفرهای بنتیک درشت مانند لپیدوسیکلیندهای کشیده (بولپیدینا) در بخش‌های آهکی این واحد به وفور یافت می‌شود. اندازه این فسیل‌ها گاه تا هشت سانتی‌متر نیز رسیده و با چشم غیرمسلح نیز قابل رویت می‌باشند (شکل ۲-ت). واحد  $OM^l$  بالاترین بخش توالی سنگی موجود در کانسار مادآباد است. این واحد از آهک‌های ضخیم‌لايه تا توده‌ای خاکستری

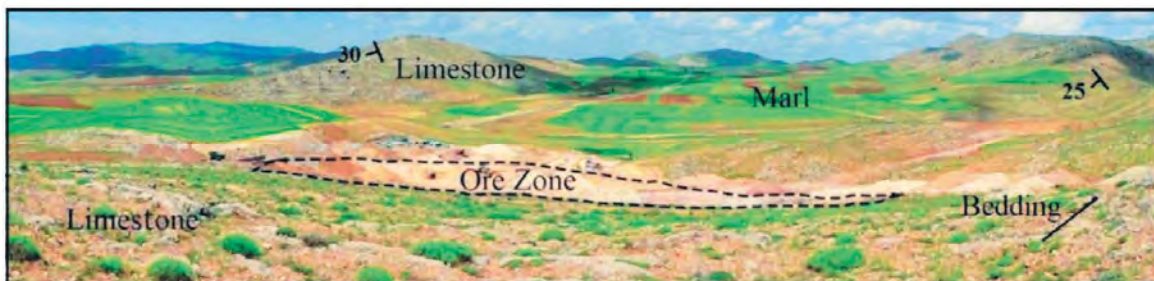


شکل ۲. (الف) نمایی کلی از تناب لایه‌های سنگ آهک، آهک مارنی و مارن سازند قم در منطقه مادآباد (دید به سمت شمال‌غرب)، (ب) نمایی از سنگ آهک‌های نازک تا متوسط‌لايه کرم‌رنگ با میان لایه‌های مارنی واحد  $OM^{l,m}$  که به صورت هم‌شیب توسط سنگ آهک‌های ضخیم‌لايه تا توده‌ای واحد  $OM^l$  پوشیده شده‌اند (دید به سمت شمال)، (پ) نمایی از سنگ آهک‌های ضخیم‌لايه تا توده‌ای واحد  $OM^l$  (دید به سمت شمال)، (ت) نمایی نزدیک از فسیل‌های لپیدوسیکلیندهای کشیده (بولپیدینا) در سنگ آهک‌های متسط‌لايه واحد  $OM^{l,m}$ ، (ث) نمایی نزدیک از قطعات فسیلی مرجان در آهک‌های ضخیم‌لايه تا توده‌ای واحد  $OM^l$

## کانه‌زایی و دَگرسانی

کانه‌زایی سلسنین در کانسار مادآباد به صورت عدسی شکل گرده است (شکل ۳). با توجه به پیمایش‌های عرضی عمود بر روند توالی کربناته سازند قم، کانه‌زایی سلسنین در کانسار مادآباد از نوع چینه‌کران است و از نظر چینه‌شناسی به سنگ آهک‌های ضخیم‌لایه واحد OMI محدود می‌شود. ذخیره کانسار مادآباد حدود ۸۵۰۰ تن با عیار متوسط ۸۸ درصد SrO تعیین شده است (شرکت پارس جم ستون، ۱۳۹۲).

در روند کربناته سازند قم رخ داده است (شکل ۳). عدسی سلسنین حدود ۳۶۰ متر درازا و ۶۰ متر پهنا دارد و روند عمومی آن N<sup>40</sup>E با شیب حدود ۲۵ درجه به سمت شمال غرب است. این عدسی، روند عمومی لایه‌بندی (شمال غرب-جنوب شرق) واحدهای کربناته میزبان را قطع



شکل ۳. نمایی از رخنمون کانه‌زایی سلسنین به صورت عدسی شکل درون واحدهای سنگ آهکی سازند قم (دید به سمت شمال غرب)

کانه‌زایی گرمابی با فراوانی سلسنین‌های درشت‌بلور (تا چند میلی‌متر) نسل دوم همراه با مقادیر کمی استرانسیانیت و باریت با بافت‌های رگه-رگچه‌ای، کاتاکلاستیک و بادیزبزی مشخص می‌شود که فاز اول کانه‌زایی گرمابی را قطع کرده است (شکل ۵-پ). ستبرای رگه-رگچه‌های سلسنین این فاز ازیک تا ۱۰ سانتی‌متر متغیر است. باریت همواره به صورت ادخال‌های ریز درون سلسنین دیده می‌شود. فاز سوم کانه‌زایی گرمابی با تشکیل سلسنین‌های درشت و شکل دار نسل سوم با بافت‌های پُرکننده فضاهای خالی، شعاعی یا دروزی و کاکلی در حفرات ژئودمانند و درون شکستگی‌های فازهای قبلی کانه‌زایی گرمابی مشخص می‌شود (شکل ۵-ت تا ج). ژئودها اندازه‌ای از چند میلی‌متر تا چندین سانتی‌متر داشته و همواره توسط بلورهای سلسنین بی‌رنگ تا سفید شیری و گاهی آبی خاکستری پُر شده‌اند. رشد شعاعی بلورهای درشت سلسنین در این ژئودها منجر به تشکیل ساختارهای دروزی (تجمعات بلوری ستاره‌ای یا گل‌برگی) شده است (شکل ۵-ث). در بخش‌های دارای بافت کاکلی و دروزی، برخی بلورهای درشت سلسنین نسل سوم، دارای هسته‌ای از بلورهای سلسنین نسل اول و یا دوم هستند که گاهی دارای بقایابی از سنگ کربناته میزبان نیز می‌باشند

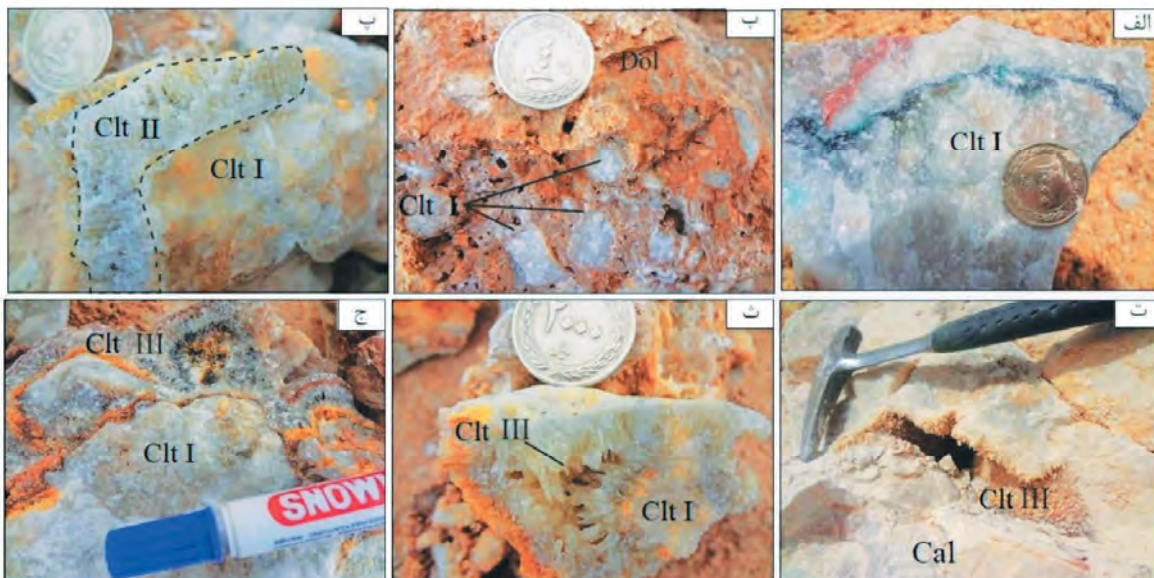
براساس مطالعات صحرابی و میکروسکوپی انجام شده، سه مرحله کانه‌زایی در کانسار مادآباد قابل تفکیک است (شکل ۴). مرحله اول با تشکیل کلسیت طی فرایندهای هم‌زمان با رسوب‌گذاری تا هم‌زمان با دیاژنز مشخص می‌شود. هیچگونه شاهد صحرابی و میکروسکوپی دال بر تشکیل ماده معدنی در این مرحله وجود ندارد. مرحله دوم (مرحله گرمابی) اصلی‌ترین مرحله کانه‌زایی در کانسار مادآباد است. با توجه به ترکیب کانی‌شناسی، ساخت و بافت و ارتباط قطع کنندگی، کانه‌زایی گرمابی را می‌توان به چهار فاز تقسیم‌بندی کرد. فاز اول کانه‌زایی گرمابی شامل بلورهای ریز (تا چند ده میکرون) و دانه شکری سلسنین بی‌رنگ تا سفید نسل اول با بافت توده‌ای و برشی است (شکل ۵-الف)، تشکیل سلسنین‌های دانه‌ریز این فاز می‌تواند نتیجه تبلور از سیالات فوق اشباع (دارای صدها میلی‌گرم در لیتر) استرانسیم باشد (Kushnir, 1986). در بخش‌های دارای بافت برشی، قطعاتی از سنگ‌های کربناته میزبان درون سلسنین‌های توده‌ای این فاز قابل مشاهده است. این قطعات برشی همواره به موازات عدسی سلسنین دیده شده و در آنها، قطعات برشی شده آهک دولومیتی با بلورهای سلسنین جانشین شده‌اند (شکل ۵-ب). فاز دوم

است که با تشکیل رگه و رگچه‌های اکسیدی و هیدروکسیدی آهن ثانویه مشخص می‌شود که منجر به تشکیل بافت شبه ریتمیک در ماده معنی شده است.

(شکل ۵-ث و ج). فاز چهارم کانه‌زایی گرمابی با تشکیل رگه و رگچه‌های تأخیری کوارتز و کلسیت همراه می‌باشد. مرحله سوم کانه‌زایی در کانسار مادآباد مربوط به فرایندهای برونزاد

		Syn-deposition-Syn-diagenesis Stage	Hydrothermal Stage				Supergene Stage
Ore	Gangue		Phase 1	Phase 2	Phase 3	Phase 4	
Celestite Strontianite Barite			Clt I	Clt II	Clt III		
	Calcite						
	Dolomite						
Textures	Quartz						
	Fe oxide-hydroxide						
	Massive						
Vein-veinlet							
	Open space filling						
	Brecciated						
	Cataclastic						
	Cockade						
	Semi-zebra						

شکل ۴. توالی پارازیتیک کانی‌ها در کانسار مادآباد

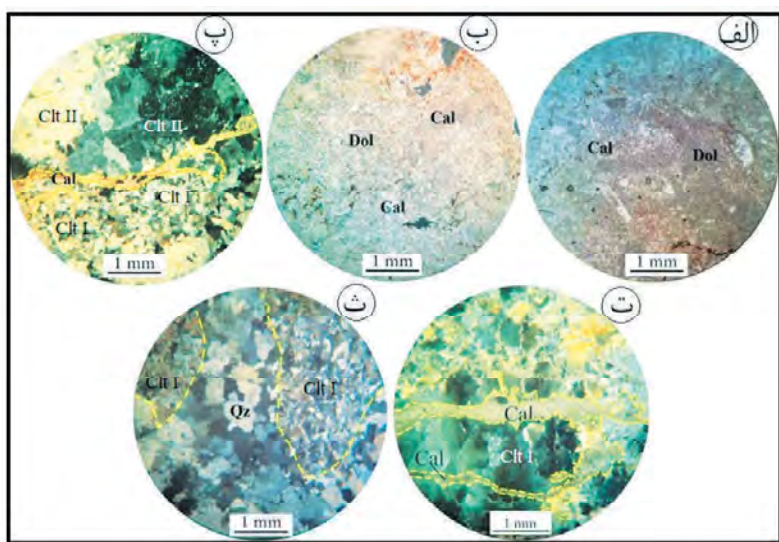


شکل ۵. شکل‌های صحرایی و نمونه دستی از انواع سلسیتین در کانسار مادآباد، (الف) سلسیتین‌های ریزبلور و دانه‌شکری نسل اول با بافت توده‌ای، (ب) سلسیتین نسل اول با بافت پرشی، (پ) سلسیتین‌های درشت نسل دوم با بافت رگه‌ای که سلسیتین‌های توده‌ای نسل اول را قطع کردند، (ت و ث) رشد سلسیتین‌های درشت با بافت شعاعی در حفرات سنگ میزان و سلسیتین‌های نسل اول، (ج) رشد سلسیتین‌های درشت نسل سوم با بافت کاکلی بر روی سلسیتین‌های ریزبلور نسل اول. نشانه‌های اختصاری کانی‌ها از Whitney and Evans (2010) اقتباس شده است (Cal: کلسیت؛ Clt: سلسیت؛ Dol: دولومیت)

براساس مطالعات صحرایی و آزمایشگاهی، دگرسانی‌های گرمابی در کانسار مادآباد شامل دگرسانی‌های دولومیتی، کانه‌زایی سلسیتین دارد. این دگرسانی سبب گسترش فضای خالی و افزایش تخلخل شده و در نتیجه بستر مناسبی را

رگچه‌های کلسیتی تأخیری با سطراهای مختلف از میلی‌متر تا چندین سانتی‌متر دیده می‌شوند (شکل ۶-پ و ت). در مقاطع میکروسکوپی، بلورهای کلسیت به صورت خودشکل تابی‌شکل و در ابعاد یک میلی‌متر تا حدود سه میلی‌متر دیده می‌شوند. دگرسانی سیلیسی به صورت محدود و با تشکیل رگه‌رگچه‌های سیلیسی تأخیری و یا سیلیسی‌شدن بخش‌هایی از سنگ دیواره (میزان کانه‌زایی) قابل مشاهده است (شکل ۶-ث). در مقاطع میکروسکوپی، کوارتزها به صورت بلورهای بی‌شکل و ریزبلور قابل مشاهده می‌باشند.

برای ورود و جانشینی سیال‌های گرمابی کانه‌دار بعدی فراهم می‌کند (Hitzman et al., 2002; Wilkinson et al., 2005). گسترش این دگرسانی در کانسار مادآباد محدود به بخش‌های کانه‌دار است و با دور شدن از عدسی سلسین، از شدت دگرسانی دولومیتی کاسته می‌شود. دگرسانی دولومیتی به صورت تشکیل بلورهای ریز، نیمه‌شکل‌دار تا شکل‌دار دولومیت مشخص شده و با رنگ هوازده قرمز تا قهوه‌ای و رنگ سطح تازه خاکستری روشن قابل شناسایی است (شکل ۶-الف و ب). دگرسانی کلسیتی به صورت



شکل ۶. شکل‌های میکروسکوپی (نور عبوری پلازیزه مقاطع، XPL) از انواع دگرسانی گرمایی در کانسار مادآباد، الف و ب) دگرسانی دولومیتی که در نتیجه آن بخشی از بافت اولیه سنگ از بین رفته است، پ و ت) دگرسانی کلسیتی به صورت رگچه‌های کلسیتی تأخیری قطع‌کننده کانه‌زایی سلسین، ث) دگرسانی سیلیسی به صورت رگچه‌های کوارتزی تأخیری قطع‌کننده کانه‌زایی سلسین. نشانه‌هایی اختصاری کانی‌ها از Whitney and Evans (2010) اقتباس شده است (Cal: کلسیت، Dol: دولومیت، QZ: کوارتز)

براساس مطالعات ساختی و بافتی، سلسین‌های موجود در بخش‌های کانه‌دار را می‌توان به سه نسل تقسیم کرد. سلسین‌های نسل اول به صورت بلورهای ریز و دانه شکری بی‌شکل تا نیمه‌شکل‌دار با اندازه یک تا چند میلی‌متر دیده می‌شوند. سلسین‌های این نسل در زیر میکروسکوپ به صورت مجموعه‌هایی از بلورهای دانه‌ای و موزاییکی در هم قفل شده دیده می‌شوند (شکل ۷-الف). مرزهای بین بلوری سلسین، بیشتر صاف تا کمی انحنایار و بدون جهت‌یافتنی ترجیحی در متن کانسینگ است. این دانه‌ها اغلب به صورت مجموعه‌ای از بلورهای همان‌دازه و متراکم در کنار یکدیگر می‌باشند. در برخی از مقاطع، حالت جریانی ناشی از فشارهای

## بحث

### کانی‌شناسی و ساخت و بافت کانسینگ

براساس مطالعات میکروسکوپی انجام‌شده، سلسین کانی اصلی ماده معدنی در کانسار مادآباد است که با اندکی استرانسیانیت و باریت همراهی می‌شود. کلسیت، دولومیت، کوارتز و اکسیدها-هیدروکسیدهای آهن، کانی‌های باطله در این کانسار هستند. براساس این مطالعات، ساخت و بافت کانسینگ در کانسار مادآباد متنوع بوده و شامل توده‌ای، عدسی، رگه‌رگچه‌ای، پُرکننده‌فضاهای خالی، دانه شکری، بادبزنی، کاکلی، شعاعی یا دروزی، شبه ریتمیک، پرشی و کاتاکلاستیک می‌باشند.

موضوع احتمال جانشینی کلسیت توسط سلسیتین را تأیید می‌کند. دولومیت اغلب به صورت بلورهای ریز تا متوسط، نیمه‌شکل دار تا شکل دار دیده می‌شود و در اثر دگرسانی دولومیتی شدن جانشین کلسیت شده است (شکل ۶-الف و ب). این کانی‌ها با رنگ هوازده قرمز تا قهوه‌ای قابل مشاهده می‌باشند. کوارتز با گسترش محدود و به صورت رگچه‌ای در کانسار مادآباد حضور دارد (شکل ۶-ث). در مقاطع نازک، کوارتز به صورت بلورهای نیمه‌شکل دار تا بی‌شکل با اندازه‌های مختلف دیده می‌شود. اکسیدها و هیدروکسیدهای آهن به صورت رگچه‌ای دیده شده و همواره ماده معدنی را قطع کرده‌اند. در بخش شمال غربی عدسی کانه‌زایی، حضور رگچه‌های فراوان اکسیدها و هیدروکسیدهای آهن سبب تشکیل ساخت شبه ریتمیک در ماده معدنی شده است (شکل ۷-ذ و ر).

## مطالعات میانبارهای سیال

### پتروگرافی

براساس مطالعات میکروسکوپی، میانبارهای سیال در کانسار مادآباد از نوع اولیه، ثانویه و ثانویه کاذب هستند. میانبارهای سیال اولیه موازی با خطوط رشد بلوری و همچنین پراکنده در متن سلسیتین‌های نسل اول و دوم دیده می‌شوند. این میانبارها براساس تعداد فاز به انواع دو فازی غنی از مایع (LV)، تک فازی غنی از مایع (L) و تک فازی غنی از گاز (V) قابل تفکیک می‌باشند (شکل ۸). در این بین، میانبارهای نوع LV، فراوان‌ترین میانبارهای سیال می‌باشند. پدیده باریک‌شدگی در برخی از میانبارهای سیال دیده می‌شود. مطالعات ریزدماسنجی بر روی میانبارهای انجام شد که شواهد باریک‌شدگی نداشته و دارای معیارهای لازم به عنوان میانبار اولیه (Roedder, 1984) بودند. این میانبارها اغلب اندازه‌ای بین شش تا ۱۸ میکرون داشته و به شکل‌های چندوجهی نامنظم، کشیده و گاهی کروی مشاهده می‌شوند.

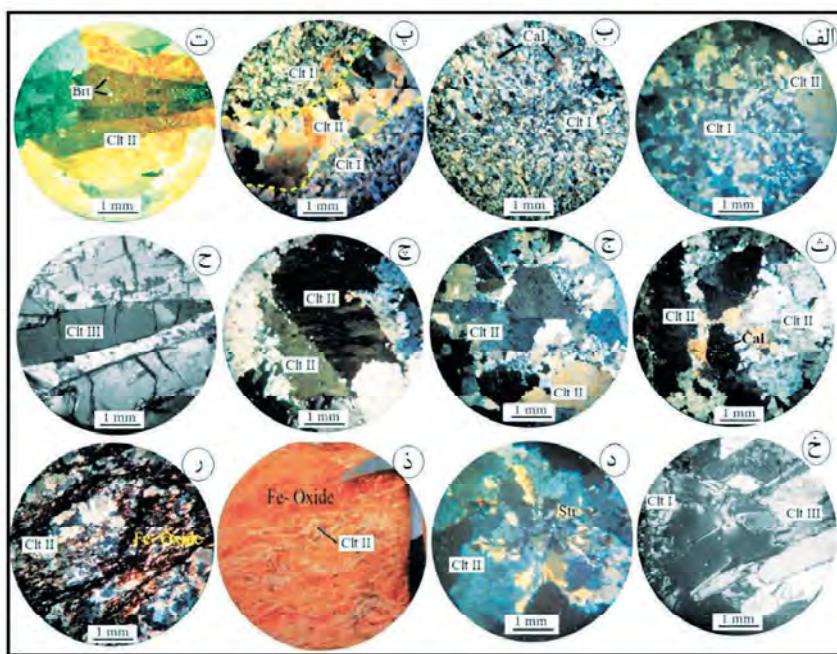
### داده‌های ریزدماسنجی

در این پژوهش، تعداد ۲۲ میانبار سیال اولیه نوع LV مورد مطالعه ریزدماسنجی قرار گرفت (جدول ۱). با توجه

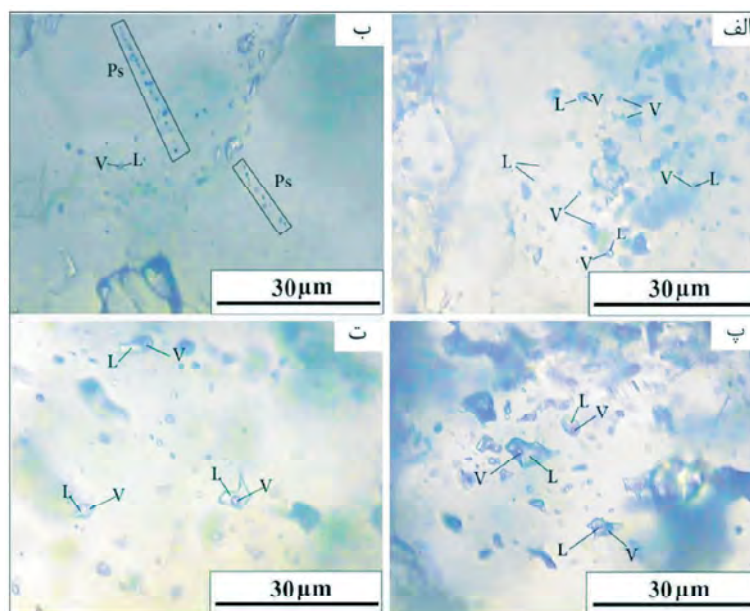
تکتونیکی در بلورهای سلسیتین نسل اول قابل مشاهده است (شکل ۷-ب). سلسیتین‌های نسل دوم به صورت بلورهای درشت بی‌شکل تا نیمه‌شکل دار و گاه شکل دار با اندازه تا یک سانتی‌متر در رگچه‌ها و رگچه‌های سلسیتین حضور دارند (شکل ۷-پ). بلورهای شکل دار سلسیتین به صورت سوزنی همراه با بلورهای کلسیت یا دولومیت، تجمعات شعاعی را به نمایش می‌گذارند. در زیر میکروسکوپ، تجمع بلورهای شعاعی منجر به تشکیل سلسیتین دسته جاروبی شده است و دارای ادخال‌های فراوانی از باریت می‌باشند (شکل ۷-ت). برخی از بلورهای درشت سلسیتین نسل دوم دارای بقایابی از بلورهای کلسیت به صورت ادخال هستند (شکل ۷-ث). در برخی از نمونه‌ها، در اثر فشارهای تکتونیکی، بلورهای درشت سلسیتین نسل دوم از حاشیه‌ها خرد شده و بافت کاتاکلاستیک نشان می‌دهند (شکل ۷-ج). خاموشی موجی مشاهده شده در برخی از بلورهای سلسیتین این نسل نیز می‌تواند حاکی از این تنفس تکتونیکی باشد (شکل ۷-چ). سلسیتین‌های نسل سوم به صورت بلورهای درشت شکل دار، تخت و منشوری هم‌بعد در ابعاد تا چند سانتی‌متر در حفرات ژئومانند دیده می‌شوند (شکل ۷-ح و خ).

استرانسیانیت بیشتر به صورت بلورهای ریز شعاعی شکل در ارتباط با سلسیتین‌های درشت نسل دوم دیده می‌شود. این کانی به صورت پراکنده با رنگ و بی‌رفزشانس متفاوت و بر جستگی بالاتر نسبت به سلسیتین قابل تشخیص است (شکل ۷-د). استرانسیانیت بیشتر در حواشی عدسی کانه‌زایی و در تماس با سنگ‌های کربناتی حضور دارد. باریت بیشتر به صورت ادخال‌های ریز درون سلسیتین‌های درشت نسل دوم قابل مشاهده است (شکل ۷-ت). ادخال‌های باریت بیشتر توزیع پراکنده و نامنظم داشته و گاهی به صورت شعاعی یا جهت‌یافته دیده می‌شوند.

کلسیت باطله اصلی در کانسار مادآباد می‌باشد. براساس مطالعات میکروسکوپی، کلسیت به صورت ادخال درون سلسیتین و یا رگچه‌های کلسیتی تأخیری قطع کننده کانه‌زایی در کانسار مادآباد حضور دارد (شکل ۶-ت و ۷-ب). همچنین، کلسیت به صورت باقیمانده‌هایی در اطراف برخی از بلورهای درشت سلسیتین دیده می‌شود و این



شکل ۷. کانی‌شناسی و ساخت و بافت کانه‌ها در کانسار مادآباد، (الف) بلورهای ریز سلسین نسل اول، (ب) بلورهای ریز سلسین نسل اول با حالت جریانی، کلسیت‌های باقیمانده از سنگ اولیه در بین سلسین‌ها قابل مشاهده است، (ت) بلورهای درشت سلسین نسل دوم با یافته رگچه‌ای که بلورهای ریز سلسین نسل اول را قطع کرده است، (ت) بلورهای درشت سلسین نسل دوم با بافت شعاعی حاوی ادخال‌های فراوان، (باریت، (ث) سلسین‌های درشت بلور و بی‌شکل نسل دوم با ادخال‌های از کلسیت، (ج) بلورهای درشت سلسین نسل دوم با بافت کاتاکلاستیک، (ج) بلورهای درشت سلسین نسل دوم دارای خاموشی موجی، (ح و خ) بلورهای درشت و سوزنی سلسین نسل سوم، (د) استرانسیانیت در کنار سلسین‌های درشت بلور نسل دوم، (ذ و ر) بهتریب تصویر نمونه دستی و میکروسکوپی از رگچه‌های اکسیدی هیدروکسیدی آهن و تشکیل ساخت شبه ریتمیک ماده معدنی، تصاویر میکروسکوپی در نور عبوری پلاریزه متقطع (XPL) (تھیه شده‌اند. نشانه‌های اختصاری کانی‌ها از (2010) Whitney and Evans اقتباس شده است (Brt: بریت، Clt: کلسیت، Cal: کاریت، Dol: دولومیت، Qz: کوارتز، Str: استرانسیانیت)



شکل ۸. شکل‌های میکروسکوپی (در دمای اتاق و نور عبوری پلاریزه، PPL) از انواع میانبارهای سیال در کانسار مادآباد، (الف) اجتماع میانبارهای سیال دو فازی غنی از مایع (LV) و تک فازی‌های غنی از مایع (L) و غنی از گاز (V) در کنار یکدیگر در سلسین نسل دوم، (ب) میانبارهای سیال ثانویه کاذب در سلسین نسل اول، (پ و ت) میانبارهای سیال اولیه دو فازی غنی از مایع در سلسین نسل دوم (L: مایع، V: گاز، PS: ثانویه کاذب)

تغییرات حرارتی دمای همگن شدن میانبارهای سیال از ۲۴۸ تا ۳۶۵ درجه سانتی‌گراد (میانگین ۲۷۸ درجه سانتی‌گراد) به دست آمد (جدول ۱). بیشترین فراوانی همگن شدگی دمایی مربوط به گستره دمایی ۲۶۰ تا ۲۷۰ درجه سانتی‌گراد است (شکل ۹-ب). چگالی محاسبه شده برای میانبارهای سیال در گستره بین ۰/۸ تا ۰/۹ گرم بر سانتی‌متر مکعب می‌باشد. به علت مشخص نبودن عمق تشکیل عدسی کانه‌دار، تصحیح دمایی بر روی مقادیر دمایی همگن شدن میانبارهای سیال اعمال نشد. با توجه به میانگین دمایی همگن شدن ۲۷۸ درجه سانتی‌گراد، حداقل عمق تشکیل کانسار مادآباد حدود ۵۱۰ متر زیر سطح ایستایی آبهای قدیمی و فشار کمتر از ۵ کیلوبار تخمین زده می‌شود.

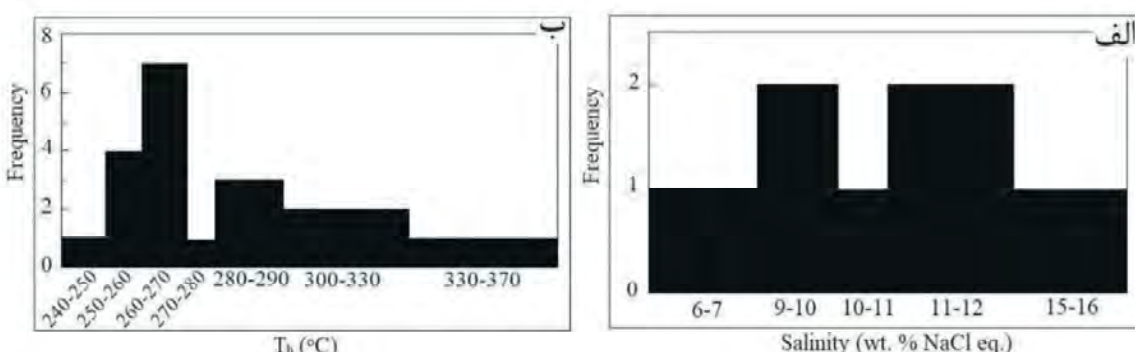
به ریزبودن میانبارهای سیال موجود در سلسیتین‌های نسل اول و عدم مشاهده تغییرات ریزدماسنجی در آنها، مطالعات ریزدماسنجی تنها بر روی میانبارهای سیال موجود در سلسیتین‌های درشت‌بلور نسل دوم انجام شد. براساس مطالعات انجام شده، دمای یوتکتیک ( $T_{\text{Te}}$ ) در هیچ یک از میانبارهای سیال قابل اندازه‌گیری نبود. دمای ذوب آخرین قطعه بین ( $T_{m\text{-ice}}$ ) در میانبارهای سیال مطالعه شده بین ۱۲-تا ۳/۷ درجه سانتی‌گراد به دست آمد. بر مبنای رابطه Bodnar (1993)، درجه شوری این میانبارها بین شش تا ۱۶ (میانگین ۱۰/۶) درصد وزنی معادل نمک طعام می‌باشد (جدول ۱). از نظر آماری، درجات شوری نه تا ۱۲ درصد وزنی معادل نمک طعام دارای بیشترین فراوانی می‌باشند (شکل ۹-الف).

جدول ۱. خلاصه نتایج مطالعات ریزدماسنجی بر روی میانبارهای سیال اولیه موجود در کانی سلسیتین نسل دوم در کانسار مادآباد

Size ( $\mu\text{m}$ )	Type	$T_{m\text{-ice}}$ ( $^{\circ}\text{C}$ )	Salinity (wt.% NaCl eq.)	$Th(v-l)$ ( $^{\circ}\text{C}$ )	Degree of fill	Density ( $\text{g/cm}^3$ )
6-18	LV	-3.7 to 12	6-16 (10.6)	248-365 (278)	0.6-0.8	0.8-0.9

The digit in the parenthesis is the mean value.

$T_{m\text{-ice}}$  = final ice-melting temperature,  $T_{h(v-l)}$  = total homogenization temperature.



شکل ۹. نمودارهای فراوانی، الف) درجه شوری، ب) دمای همگن شدن میانبارهای سیال اولیه در سلسیتین‌های نسل دوم در کانسار مادآباد

و عدسی شکل است و از نظر چینه‌شناسی به سنگ آهک‌های ضخیم‌لایه سازند قم محدود می‌شود. امتداد عدسی کانه‌دار (شمال‌شرقی-جنوب‌غربی) روند عمومی لایه‌بندی (شمال‌غربی-جنوب‌شرقی) واحدهای کربناته میزبان را قطع کرده است. ۲- ساخت و بافت ماده معدنی در کانسار مادآباد به صورت توده‌ای، دروزی و پُرکننده فضای خالی در پهنه‌های برشی و گسلی در سنگ آهک میزبان

**تیپ کانه‌زایی**  
با توجه به ویژگی انواع کانسارهای سلسیتین و با عنایت به شواهد زمین‌شناسی و کانه‌زایی، می‌توان اظهار داشت ویژگی‌های کانسار مادآباد تشابه زیادی با کانسارهای سلسیتین جانشینی اپی‌زنگیک در سنگ آهک‌های ریفی (Dill, 2010) دارد. شواهد این مقایسه به شرح زیر است:  
۱- کانه‌زایی سلسیتین در کانسار مادآباد از نوع چینه‌کران

با مقادیر کمی استرانسیانیت با بافت رگه-رگچه‌ای مشخص می‌شود. استرانسیانیت در این کانسار بیشتر در حواشی عدسی کانه‌زایی و در تماس با سنگ‌های کربناتی حضور دارد. استرانسیانیت از کانی‌های شاخص در کانسارهای سلسین با منشاء گرمابی می‌باشد (Dill, 2010). ۶- به طور معمول در کانسارهای سلسین با منشاء گرمابی، فرایند دولومیتی‌شدن سبب افزایش تخلخل و فراهم شدن بسترهای مناسب برای ورود و جانشینی سیال‌های گرمابی کانه‌دار می‌شود. گسترش این دگرسانی در کانسار مادآباد نیز محدود به بخش‌های کانه‌دار است به طوریکه بیشترین شدت دگرسانی دولومیتی در مجاورت عدسی سلسین دیده شده و با دور شدن از عدسی کانه‌زایی، این دگرسانی وجود ندارد. ۷- نتایج مطالعات ریزدماسنجدی بیانگر درجه شوری بین شش تا ۱۶ (میانگین ۱۰/۶) درصد وزنی معادل نمک طعام و دمای همگن‌شدن ۲۴۸ تا ۳۶۵ (میانگین ۲۷۸) درجه سانتی‌گراد برای سلسین‌های نسل دوم در کانسار مادآباد است. این گستره درجه شوری و دمای همگن‌شدن مشابه با محلول‌های ماقمایی-گرمابی (Roedder, 1984) است و از ویژگی‌های کانسارهای سلسین تیپ جانشینی اپی‌ژنتیک می‌باشد (Dill, 2010). در جدول ۲، ویژگی‌های کانسار مادآباد با برخی از کانسارهای سلسین تیپ جانشینی اپی‌ژنتیک مقایسه شده است.

### منشاء استرانسیم

الگوهای اصلی برای منشاء استرانسیم و تشکیل کانسارهای سلسین شامل: ۱- تهنشست سلسین از آب دریا هم‌زمان با رسوب‌گذاری و ۲- جانشینی اپی‌ژنتیک زیپس، انیدریت، کلسیت و دولومیت توسط سلسین می‌باشد (Brodtkorb et al., 1982; Forjanes et al., 2020a, b) در بسیاری از کانسارهای سلسین مانند گراندا، نیوگیون، همیت، سالینا، کانسارهای آند (Brodtkorb et al., 1982; Martin et al., 1984; Ramos and Brodtkorb, 1990) و کانسارهای قاعده سازند آسماری در زاگرس (جمی، ۱۳۷۰) (Ehya et al., 2013) که در الگوی رسوب‌گذاری سلسین از آب دریا مدل شده‌اند، منشاء استرانسیم آب دریا مورد توجه

است. این شواهد ساخت و بافتی از ویژگی‌های کانسارهای جانشینی اپی‌ژنتیک می‌باشد. ۳- ساخت و بافت‌های لایه‌ای و لامینهای مهم‌ترین ساخت و بافت ماده معدنی در کانسارهای سلسین رسوبی دیاژنیک می‌باشند. این ساخت و بافت‌ها به شکل‌های زیر در این دسته از ذخایر سلسین قابل مشاهده می‌باشند: الف- لایه‌هایی که نتیجه تناوب بلورهای ریز و درشت سلسین می‌باشند و به عنوان ساخت ریتمیک یا متناوب نام‌گذاری شده‌اند. این ساخت توسط Brodtkorb و همکاران (۱۹۸۲) در سلسین‌های رسوبی-دیاژنیکی حوضه نیوگیون آرژانتین گزارش شده است. جمی (۱۳۷۰) این ساخت را برای کانسارهای سلسین رسوبی حوضه زاگرس به عنوان ریتمیک‌های تبلور دیاژنیکی معرفی کرده است. در کانسار مادآباد، ساخت و بافت ریتمیک مشاهده نمی‌شود. تنها در بخشی از کانسار، وجود رگه و رگچه‌های تأخیری اکسید آهنی که کانه‌زایی سلسین را قطع کرده‌اند، سبب ایجاد ساخت شبه ریتمیک شده است. ب- لایه‌های مشابه آهک جلبکی که در نتیجه جانشینی سلسین به‌جای آهک جلبکی ایجاد شده و شرایط رسوب‌گذاری اولیه را نشان می‌دهند. هم‌زمان با رشد این جلبک‌ها، زیپس و انیدریت به عنوان کانی معمول این محیط تشکیل شده (Kinsman, 1969) و سلسین جانشین زیپس، انیدریت و آهک جلبکی (Warren, 2006; Ehya, et al., 2013; Forjanes et al., 2020a, b) می‌شود. براساس مطالعات میکروسکوپی، شواهدی از حضور آهک جلبکی، کانی‌های زیپس و انیدریت و جانشینی آنها توسط سلسین در کانسار مادآباد، مشاهده نشده است. ۴- در بخش‌های دارای بافت برشی، قطعاتی از سنگ‌های کربناته میزبان درون سلسین قابل مشاهده است و در آن، قطعات برشی شده آهک دولومیتی به موازات عدسی کانه‌دار هستند و توسط بلورهای سلسین جانشین شده‌اند. علاوه بر این، بقایایی از کلسیت در اطراف برخی از بلورهای درشت سلسین دیده می‌شود و این موضوع نیز تأییدی بر جانشینی کلسیت توسط سلسین است. این شواهد از ویژگی‌های کانسارهای جانشینی اپی‌ژنتیک است. ۵- مرحله دوم کانه‌زایی در کانسار مادآباد با فراوانی سلسین‌های درشت‌بلور نسل دوم همراه

## جدول ۲. مقایسه ویژگی‌های اصلی کانسار مادآباد با برخی از کانسارهای سلسیتین تیپ جانشینی اپی‌زنگیک در ایران و ترکیه

مادآباد	ملک‌آباد، سیاه‌کوه و دوازده امام	وحده‌های کربناته سازند قم	سنگ‌میزبان
کانی‌شناسی	وحده‌های کربناته سازند قم	وحده‌های کربناته سازند قم	سلستین، استرانسیاتیت، باریت
ساخت و بافت	ریتمیک، عدسی، جانشینی، رگه	رگه‌مرگچه‌ای، پُرکننده فضاهای خالی	رگه‌مرگچه‌ای، پُرکننده فضاهای خالی، دروزی، پرشی، کاتاکلاستیک
ویژگی سیالات درگیر	دما: ۲۴۸-۳۶۵ درجه سانتی‌گراد، شوری: ۱۶-۲۳ درصد وزنی معادل نمک طعام	-	دما: ۲۱۰-۳۹۰ درجه سانتی‌گراد، شوری: ۲۳-۱۱ درصد وزنی معادل نمک طعام
دگرسانی	دولومیتی، سیلیسی	دولومیتی، سیلیسی	دولومیتی، کلسیتی، سیلیسی
منشاء استرانسیم	وحده‌های آتشفشاری سازند کرج	وحده‌های آتشفشاری سازند قم و واحدهای تبخیری سازند کرج	منشاء استرانسیم
منبع	Tekin, 2001; Tekin et al., 2002	Bazargani-Guilani and Nekouvaght Tak, 2008	نتایج حاصل از این پژوهش

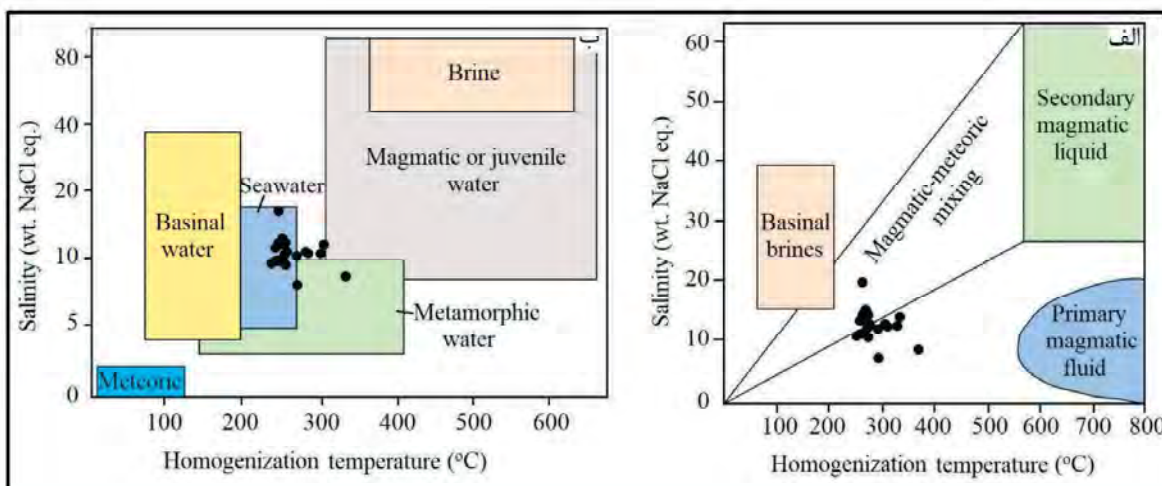
در کانسار مادآباد دارای ترکیب کانی‌شناسی اولیه کلسیتی هستند (نوری و همکاران، ۱۳۹۸). لذا منشاء استرانسیم در این کانسار مرتبط با فرایندهای دیاژنزی تبدیل آراغونیت به کلسیت نیست و می‌تواند مرتبط با واحدهای تبخیری موجود در بخش‌های مارنی سازند قم و واحدهای آتشفشاری سازند کرج در منطقه باشد. Bazargani-Guilani and Nekouvaght Tak (2008) نیز بخشی از منشاء استرانسیم در کانسارهای سلسیتین ملک‌آباد، سیاه‌کوه، دوازده امام و سلسیتین مزرعه (ایران مرکزی) را واحدهای آتشفشاری سازند کرج در نظر دارند. این پژوهشگرها، بالا بودن نسبی غلظت استرانسیم در سازند کرج را دلیلی بر تأمین آن برای این کانسارها قلمداد کرده‌اند. در چنین مکانیسمی، محلول‌های غنی از استرانسیم با آبهای سطحی مخلوط و سبب تنهایی سلسیتین در سنگ‌های میزبان مناسب می‌شوند Dove and Czank, 1995; Ceyhan et al., 1996; Tekin, 2001; Tekin et al., 2002.

### الگوی تشکیل کانسار مادآباد

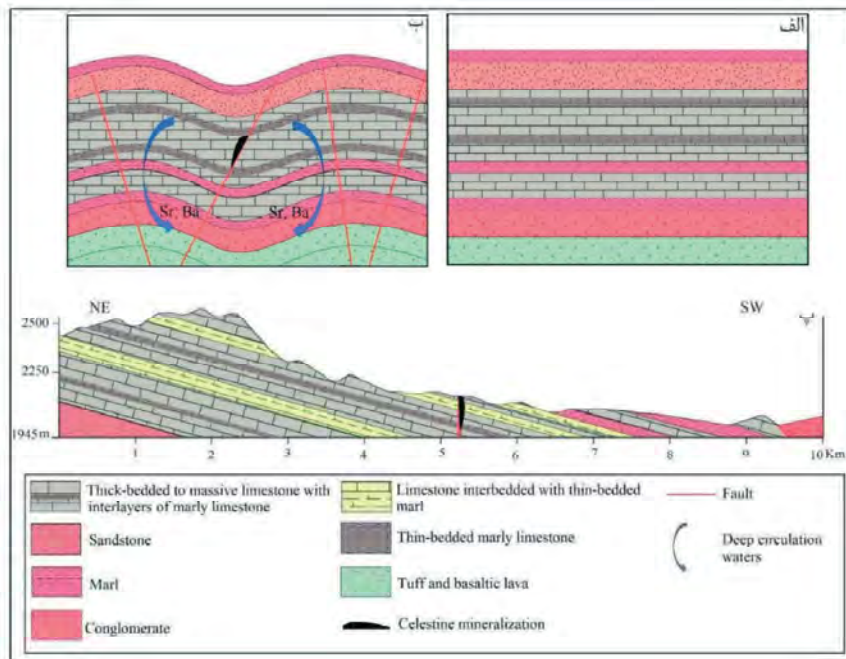
براساس نتایج به دست آمده از مشاهدات صحرابی، مطالعات سنگ‌شناسی، کانه‌نگاری، ساخت و بافت و روابط پاراژنگیک کانی‌ها در کانسار مادآباد، مراحل تکوین و تکامل این کانسار را می‌توان به صورت یک توالی سه

است. در کانسارهای سین‌زنگیک، به‌طور واضح شواهدی از جانشینی اپی‌زنگیک کانی‌های کلسیت، دولومیت، زیپس و انیدریت توسط سلسیتین وجود دارد (Scholle et al., 1990). برای کانسارهای سلسیتین با خاستگاه اپی‌زنگیک، منابع استرانسیم لازم برای کانی‌سازی از: ۱- تبدیل آراغونیت به کلسیت، ۲- دولومیتی‌شدن سنگ آهک و ۳- انحلال زیپس به عنوان سیمان سنگ‌های کربناته طی دیاژنس، فراهم شده است (Nickless et al., 1975; Wood and Shaw, 1976). اعتقاد بر این است که این استرانسیم مواضع کلسیم را اشغال کرده و با غنای تا حد برابر محظوظ در دولومیت‌ها محصور شده است (Carlson, 1983). برای کانسارهای سلسیتین حوضه سیواس در آناتولی ترکیه، منشاء استرانسیم محلول‌های گرمایی بیان شده است (Karamanderesi et al., 1992; Tekin, 2001; Tekin et al., 2002) کانسارها، محلول‌های ماقمایی-گرمایی غنی از استرانسیم از طریق گسل‌ها و شکستگی‌ها به بخش‌های سطحی راه پیدا کرده و در اثر اختلاط با آبهای سطحی سبب تنهایی سلسیتین شده‌اند (شکل ۱۰).

سلسیتین می‌تواند طی فرایندهای دیاژنس از تبدیل آراغونیت دارای استرانسیم بالا یا کلسیت زیستی به کلسیت دارای استرانسیم پایین یا دولومیت تشکیل شود (Hanor, 2004; Warren, 2006). با توجه به مطالعات سنگ‌نگاری و زمین‌شیمیایی، کربنات‌های میزبان کانه‌زایی



شکل ۱۰. تعیین منشاء سیال کانسار مادآباد با استفاده از نمودارهای شوری-دمای همگن شدن، (الف) نمودار (Beane 1983)، (ب) نمودار (Kesler 2005)



شکل ۱۱. نمایی شماتیک نشان دهنده تاریخچه تکامل زمین‌شناسی و تشکیل کانسار مادآباد، (برای توضیح به متن مراجعه شود)

در برش دهنک در شمال شرق گرمسار نیز پیشنهاد شده است. در مرحله دوم، واحدهای سنگی منطقه طی فاز کوهزایی ساوبن (میوسن میانی) چین خورده و گسلها و شکستگی‌های فراوانی در آنها ایجاد شده است. ورود آب‌های جوی به بخش‌های عمیق حوضه رسوی از طریق گسلها و شکستگی‌ها، گرم شدن و چرخش آنها در افق‌های زیرین سنگ بستر سبب شسته شدن استرانسیم از واحدهای تبخیری و آتشفشاری منطقه و تهنشست آن در فضاهای خالی مرحله‌ای خلاصه کرد (شکل ۱۱). مرحله نخست با تهنشست توالی‌های آتشفشاری-رسوی سازند کرج و واحدهای رسوی سازندهای قمز زیرین، قم و قرمز بالابی مشخص می‌شود (شکل ۱۱-الف). رسوبات کربناته سازند قم در منطقه مورد مطالعه در محیط دریایی باز متعلق به کربناتهای مناطق معتمله طی زمان میوسن پیشین تشکیل شده‌اند (نوری و همکاران، ۱۳۹۷). مانند چنین محیطی توسط دانشیان و همکاران (۱۳۹۶) برای نهشت‌های کربناته سازند قم

اپی‌زنگیک است. کانه‌زایی و دگرسانی در این کانسار محدود به ساختارهای پرشی و گسلی در واحدهای آهکی سازند قم است. از این رو، بررسی این پهنه‌ها در واحدهای آهکی سازند قم به‌ویژه در مناطقی که دگرسانی دولومیتی به خوبی توسعه یافته است، می‌تواند به اکتشاف ذخایر دیگری از سلسیتین در این منطقه و دیگر نقاط ایران منجر شود.

## سپاسگزاری

نویسندهان از حمایت‌های مالی دانشگاه زنجان برای انجام این پژوهش تشکر می‌نمایند. همچنین نویسندهان از سردبیر و داوران محترم فصلنامه زمین‌شناسی ایران به‌خاطر راهنمایی‌های علمی ارزنده که منجر به غنای بیشتر مقاله حاضر شده است، کمال تشکر را دارند.

## منابع

- بازرگانی گیلانی، ک. و ربانی، م.ص.، ۱۳۸۴. نهشت سلسیت استراتیفورم منطقه افتر، باخترسمنان. فصلنامه علوم زمین، ۵۵، ۴۱-۳۰.
- جمی، م.، ۱۳۷۰. زمین‌شناسی، ژئوشیمی و منشاء افق سلسیت‌دار منطقه بهمنی (سازند آسماری)، استان کهگیلویه و بویراحمد. پایان‌نامه کارشناسی ارشد، دانشگاه شیراز، ۱۸۶.
- دانشیان، ج.، اسدی مهماندوستی، ا. و رمضانی دانا، ل.، ۱۳۹۶. ریزرساره، محیط رسوی و چینه‌نگاری سکانسی سازند قم در پرش دهنمک، شمال شرق گرمسار. فصلنامه زمین‌شناسی ایران، ۱۱، ۴۱، ۴۲-۲۳.
- رستمی پایدار، ق.، طاهرزاده، ا. و عادلپور، م.، ۱۳۹۵. زمین‌شناسی و زنگ‌کانسار سلسیت با بامحمد در مرز گچساران و میشان، استان کهگیلویه بویراحمد. یافته‌های نوین زمین‌شناسی کاربردی، ۲۰، ۷۵-۶۲.
- شرکت فارس جم ستون، ۱۳۹۲. گزارش پایان اکتشاف کانسار سلسیتین مادآباد. سازمان صنعت، معدن و تجارت استان زنجان، ۱۸۵.
- شهیدی، ع. و بهار فیروزی، خ.، ۱۳۸۰. نقشه زمین‌شناسی حلب، مقیاس ۱:۱۰۰،۰۰۰. سازمان زمین‌شناسی و اکتشافات معدنی کشور.
- علوی نائینی، م.، ۱۳۷۲. نقشه زمین‌شناسی

و زون‌های پرشی موجود در واحدهای کربناته سازند قم شده است (شکل ۱۱-ب). چنین مکانیسمی برای کانه‌زایی‌های سلسیتین در کانسارهای سلسیتین ملک‌آباد، سیاه‌کوه، Bazargani دوازده امام و مزرعه نیز پیشنهاد شده است (Guilani and Nekouvaght Tak, 2008; Ranjbaran et al., 2014). مرحله سوم با بالآمدگی ناحیه‌ای و توسعه فرایندهای هوازدگی و فرسایش همراه بوده و ریخت‌شناسی امروزی منطقه حاصل شده است (شکل ۱۱-پ).

## نتیجه‌گیری

نتایج حاصل از این پژوهش را می‌توان به صورت زیر خلاصه کرد:

۱. کانه‌زایی سلسیتین در کانسار مادآباد به صورت چینه‌کران و عدسی‌شکل درون واحدهای کربناته عضو سازند قم به سن میوسن زیرین رخ داده و لایه‌بندی آنها راقطع کرده است. کانه‌زایی در این کانسار توسط پهنه‌های پرشی و گسلی کنترل شده و دارای دگرسانی‌های دولومیتی، کلسیتی و سیلیسی همراه با بافت‌های رگه‌رگچه‌ای، پُرکننده فضاهای خالی، دروزی، پرشی و کاتاکلاستیک است.
۲. نتایج مطالعات ریزدانسنجی، درجه شوری میانبارهای سیال را بین شش تا ۱۶ (میانگین ۱۰/۶) درصد وزنی معادل نمک طعام و دمای همگن شدن آنها را ۲۴۸/۱ درجه سانتی‌گراد (میانگین ۲۷۸) نشان داده است. این گستره درجه شوری و دمای همگن شدن مشابه با محلول‌های ماقمایی-گرمابی می‌باشد. فشار به دام افتادن سیالات در کانسار مادآباد کمتر از ۰/۵ کیلوبار و حداقل عمق کانه‌زایی حدود ۵۱۰ متر زیر سطح ایستابی آب‌های قدیمی بوده است.
۳. استرانسیم در کانسار مادآباد از واحدهای تبخیری موجود در بخش‌های مارنی سازند قم و واحدهای آتشفشنای سازند کرج منشاء گرفته و در فضاهای خالی و زون‌های پرشی موجود در واحدهای کربناته سازند قم تهذیب شده است.
۴. کانسار مادآباد از نوع کانسارهای سلسیتین جانشینی

- its. Procceding, University of Missouri Rollamo, 242-435.
- Ceyhan, V., Cinemre, H.A. and Bozoglu, M., 1996. An analysis of supply and demand of hazelnut in Turkey. Proc. of the Nuts Symposium Samsun, Turkey, 12-46 (in Turkish).
  - Dill, H.G., 2010. The chessboard classification scheme of mineral deposits: mineralogy and geology from aluminum to zirconium. *Earth Science Reviews*, 100(1-4), 1-20.
  - Dove, P.M. and Czank, C.A., 1995. Crystal chemical controls on the dissolution kinetics of the isostructural sulfates-celestite, anglesite, and barite. *Geochimica et Cosmochimica Acta*, 59(10), 1907-1915.
  - Ehya, F., Shakouri, B. and Rafi, M., 2013. Geology, mineralogy, and isotope (Sr, S) geochemistry of the Likak celestite deposit, SW Iran. *Carbonates and Evaporites*, 28(4), 419-431.
  - Forjanes, P., Astilleros, J.M. and Fernández-Díaz, L., 2020a. The formation of barite and celestite through the replacement of gypsum. *Minerals*, 10, 189.
  - Forjanes, P., Gómez-Barreiro, J., Morales, J., Astilleros, J.M. and Fernández-Díaz, L., 2020b. Epitactic growth of celestite on anhydrite: substrate induced twinning and morphological evolution of aggregates. *Crystal Engineering Communication*, 22(35), 5743-5759.
  - Furrer, M.A. and Soder, P.A., 1955. The Oligo-Miocene Formation in the Qom region (Iran). Processing of 4th World Petroleum Congress, 6-15 June, Roma, Italy, 267-277.
  - González-Sánchez, F., Camprubí, A., González-Partida, E., Puente-Solís, R., Canet, C., Centeno-García, E. and Atudorei, V., 2009. Regional stratigraphy and distribution of epigenetic stratabound celestine, fluorite, barite and Pb-Zn deposits in the MVT province of northeastern Mexico. *Mineralium Deposita*, 44, 343-361.
  - Hanor, J.S., 2004. A model for the origin خدابنده-سلطانیه، مقیاس ۱:۱۰۰،۰۰۰. سازمان زمین‌شناسی و اکتشافات معدنی کشور.
  - کریمی، ع. و راستاد، ا.، ۱۳۷۸. رخسارهای کانه‌دار کانسار سلسیت نخجیرکوه ورامین؛ تحول دیاژنزی و محیط رسوب‌گذاری. *فصلنامه علوم زمین*، ۳۳، ۲۰-۳۳.
  - نوری، م.، زهدی، ا.، کوهستانی، ح.، نباتیان، ق. و مختاری، م.ع.ا.، ۱۳۹۷. چینه‌شناسی سنگی، ریز رخسارهای و محیط رسوبی سازند قم در بُرش کانسار سلسیتین مادآباد، جنوب زنجان. *مجله رخسارهای رسوبی*، ۱۱، ۳۰-۳۸.
  - نوری، م.، زهدی، ا.، کوهستانی، ح.، نباتیان، ق. و مختاری، م.ع.ا.، ۱۳۹۸. مطالعه کانی‌شناسی اولیه کربنات‌های سازند قم با استفاده از مطالعات پتوگرافی و ژئوشیمیایی در بُرش کانسار سلسیتین مادآباد (جنوب زنجان). *فصلنامه زمین‌شناسی ایران*، ۱۳، ۵۱، ۱۵-۱۶.
  - Alavi, M., 1991. Tectonic map of the Middle East, scale 1:5000000. Geological Survey of Iran.
  - Bazargani-Guilani, K. and Nekouvagh Tak, M.A., 2008. Celestite ore deposit and occurrences of the Qom Formation, Oligo-Miocene, Central Iran. 2nd IASME/WSEAS international conference on geology and seismology, Cambridge, UK, 48-54.
  - Beane R.E. 1983. The magmatic-meteoric transition. Geothermal Resources Council, Special Report, 13, 245-253.
  - Bodnar, R.J., 1993. Revised equation and table for determining the freezing point depression of  $H_2O$ -NaCl solution. *Geochimica et Cosmochimica Acta*, 57(3), 683-684.
  - Brodtkorb, M.K. de., Ramos, V., Barbieri, M. and Ametrano, S., 1982. The evaporitic celestine-barite deposits of Neuquén, Argentina. *Mineralium Deposita*, 17(3), 423-436.
  - Carlson, E.H., 1983. The occurrence of Mississippi Valley-type mineralization in northwestern Ohio. In: Kisvarsanyi G.S. Grant K. Pratt W.P. and Koeing J.W. (Eds.). International conference on Mississippi valley-type lead-zinc depos-

- of large carbonate-and evaporite-hosted celestine deposits. *Journal of Sedimentary Research*, 74(2), 168–175.
- Hitzman, M.W., Redmon, P.B. and Beaty, D.W., 2002. The carbonte-hosted Lisheen Zn-Pb-Ag deposit, County Tipperary, Ireland. *Economic Geology*, 97(8), 1627–1655.
  - Karamanderesi, I.H., Kılıçdağı, R. and Kılıç, N., 1992. Relationship between Sýcakçermik (Sivas) geothermal system and celestine formation. *Türkiye Jeo. Kurult. Bildi. Özleri*, 65 (in Turkish).
  - Kesler, S.E., 2005. Ore-forming fluids. *Elements*, 1, 13–18.
  - Kinsman, D.J.J., 1969. Modes of formation, sedimentary associations, and diagenetic features of shallow-water supratidal evaporites. *American Association Petroleum Geology Bulletin*, 53(4), 830–840.
  - Kushnir, S.V., 1986. The epigenetic celestite formation mechanism for rock containing CaSO<sub>4</sub>. *Geochemistry*, 23, 1–9.
  - Markhand, A.H., Agheem, M.H., Shaikh, S.A., Khokhar, Q.D., Sahit, A.G. and Jamali, M.A., 2020. Mineralogical and Geochemical investigations of Celestite and Gypsum from Ganjo-Takkar area, Hyderabad, Sindh, Pakistan. *Sindh University Research Journal (Science Series)*, 52(3), 263–272.
  - Martin, J.M., Ortega-Huertas, M. and Torres-Ruiz, J., 1984. Genesis and evolution of strontium deposits of the Granada basin (Southern Spain): evidence of diagenetic replacement of a stromatolite belt. *Sedimentary Geology*, 39(3–4), 281–298.
  - Nickless, E.F.P., Booth, S.J. and Mosley, P.N., 1975. Celestite deposits of the Bristol area. *Transaction Institute of Mining and Metallurgy, Section B*, 84, B62–B63.
  - Pourkaseb, H., Zaravandi, A., Rezaei, M., Mahdavi, R. and Ghanavati, F., 2017. The occurrence and origin of celestite in the Abolfares region, Iran: Implications for Sr-mineralization in Zagros fold belt (ZFB). *Journal of African Earth Sciences*, 134, 352–364.
  - Ramos, V.A. and Brodkorb, M.K. de., 1990. The barit and celestite metallotects of the Neuquén retroarc basin, central Argentina. In: *Stratabound ore deposits in the Andes*, Springer Verlag, Heidelberg. 47, 599–613.
  - Ranjbaran, M., Moghaddasi, S.J. and Sothian, F., 2014. Texture study of the Mazraeh celestite deposit from North Central Iran. *Journal of Tethys*, 2(1), 20–28.
  - Roedder, E., 1984. Fluid inclusions. *Reviews in Mineralogy*. Mineralogical Society of America, Washington, 12, 644.
  - Ruiz, J., Kesler, S.E., Jones, L.M. and Sutter, J.F., 1980. Geology and geochemistry of the Las Cuevas fluorite deposit, San Luis Potosí, Mexico. *Economic Geology*, 75, 1200–1209.
  - Scholle, P.A., Stemmerik, L. and Harporth, O., 1990. Origin of major karst-associated celestite mineralization in Karstrynggen, Central East Greenland. *Journal of Sedimentary Research*, 60(3), 397–410.
  - Tekin, E., 2001. Stratigraphy, geochemistry and depositional environment of the celestine-bearing gypsiferous Formations of the Tertiary Ulaş-Sivas Basin, East-Central Anatolia (Turkey). *Turkish Journal of Earth Sciences*, 10, 35–49.
  - Tekin, E., Varol, B., Ayan, Z. and Satır, M., 2002. Epigenetic origin of celestite deposits in the Tertiary Sivas Basin: New mineralogical and geochemical evidence. *Neues Jahrbuch für Mineralogie-Abhandlungen, Journal of Mineralogy and Geochemistry*, 7, 289–318.
  - Warren, J.K., 2006. *Evaporites: Sediments, Resources and Hydrocarbons*. Springer Science and Business Media, Berlin, Germany.
  - Whitney, D.L. and Evans, B.W., 2010. Abbreviations for names of rock-forming miner-

- als. Amican Mineralogist, 95(1), 185–187.
- Wilkinson, J.J., Eyre, S. and Boyce, A., 2005. Ore-forming processes in Irish-type carbonate-hosted Zn-Pb deposits: Evidence from mineralogy, chemistry, and isotopic composition of sulfides at the Lisheen mine. Economic Geology, 100(1), 63–86.
- Wood, M.W. and Shaw, H.F., 1976. The geochemistry of celestites from the Yate area near Bristol (UK). Chemical Geology, 17, 179–193.